

I) Notions de transition de phase :

1^o) Potentiels thermodynamique et notions de stabilité :

d'équilibre thermodynamique nous renseigne sur la stabilité d'une phase / d'un état à persister dans le temps, sous l'effet (ou non) d'une perturbation. Des fonctions d'état vont permettre de caractériser ces états d'équilibre, il faut alors choisir la plus adaptée au système considéré.

On a déjà vu U et H { $dU = -PdV + TdS$ } { Pas très
commode,
dépend de S }
 $(H = U + PV)$ { $dH = VdP + TdS$ }

↳ On a introduit $F = U - TS$ → $dF = -SdT - PdV$
(sur diapo) $G = H - TS$ → $dG = VdP - SdT$
↳ Rappels utiles

En fonction des paramètres sur lesquels on peut jouer (soit (T, V) , soit (P, T)), on utilisera F ou G . Et pourquoi les utiliser ? On peut montrer (avec le 1^{er} et 2nd principe) que : Innister à l'oral

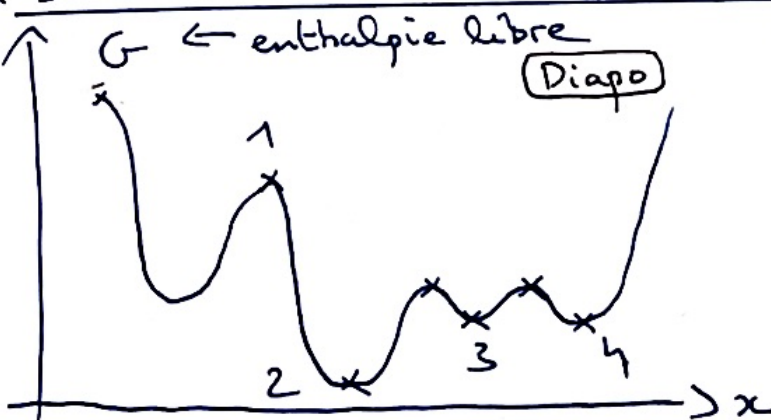
$$\Delta(U - TS) = \Delta(F^*) \leq 0 \quad \text{si } \Delta W_{\text{ext}} = 0 \text{ et transformation monotheème/isochorie.}$$

$$\Delta(U + PV - TS) = \Delta(G^*) \leq 0 \quad \text{si } \Delta W_{\text{ext}} = 0 \text{ et transformation (1) monotheème/isobare.}$$

↳ F^* et G^* évolue spontanément et prend un minimum à l'équilibre → potentiel thermodynamique.

Ainsi, en fonction du problème, le choix du potentiel chimique est important)

* Stabilité - instabilité - métastabilité : exemple



- en 1 : instable (légère perturbation décale 1 vers la droite ou la gauche)
en 3 : métastable (minimum local), si perturbation forte décale vers 2
en 2 : stable (d'après (1))

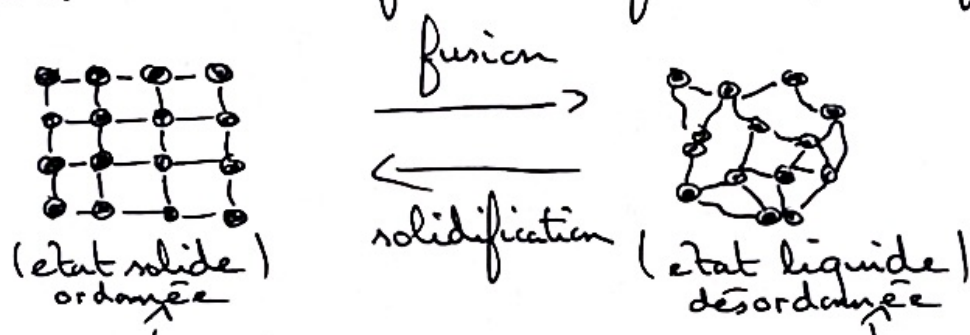
Si les critères de stabilité ne sont pas respectés, on a rupture de l'équilibre thermodynamique et donc le système change d'état \rightarrow transition de phase

2°) Notions de transition et diagramme de phase:

Définition générale: passage d'un corps d'un état physique donné, caractérisé par un ensemble de propriétés, à un autre état physique.

On peut aller même plus loin en parlant de compétition énergie - entropie (ordre - désordre):

Exemple: la solidification - fusion, à P fixée

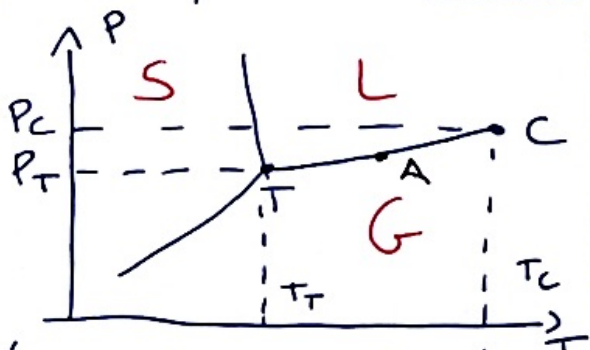


à température faible,
l'énergie l'emporte afin d'optimiser
les attractions mutuelles.

à haute température,
l'entropie l'emporte devant
l'énergie (+ de configurations
possibles, agitation thermique)

(On reparlera de cette compétition ordre/désordre dans les autres exemples)

Pour illustrer visuellement "une transition de phase, on peut représenter un diagramme de phase:



(corps pur, sur diapo)

Courbe de coexistence, on a 2 phases en équilibre

$\Rightarrow G$ est minimum (G est le bon choix ici car P, T) et donc :

$$G_A = G_1(T, P, n_1) + G_2(T, P, n_2)$$

avec $n_2 = n - n_1$ } mole fixée

" G " étant extensive, on peut poser $x = \frac{n_1}{n}$ et $(1-x) = \frac{n_2}{n}$
où x fraction molaire de l'espèce (A) (choix arbitraire)

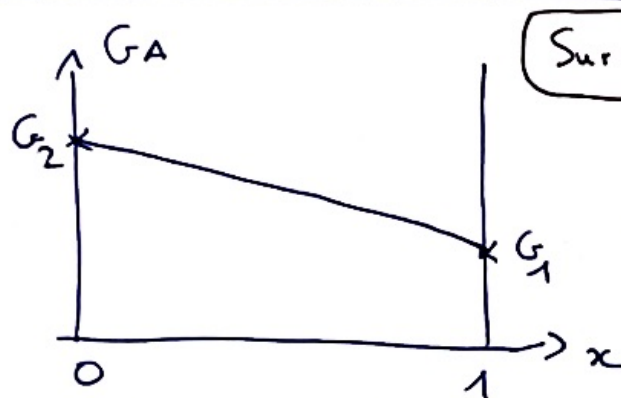
$$\Rightarrow G_A = x G_1(T, P, n) + (1-x) G_2(T, P, n)$$

$$\hookrightarrow G_A = x \left[G_1(T, P, m) - \overset{\text{enthalpie}}{\underset{\substack{\text{libre système} \\ \text{phase 1}}}{G_2(T, P, m)}} \right] + G_2(T, P, m)$$

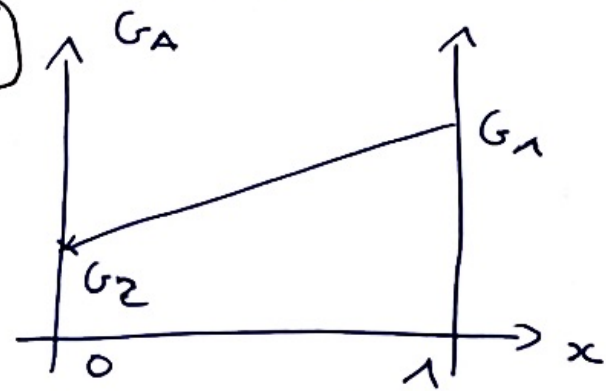
enthalpie
 libre système
 phase 1 enthalpie
 libre système
 phase 2 (sous la forme
 a_ct + b)

(On a vu dans un cours précédent que $G = \sum_i m_i x_i$ (identité d'Euler))

$$\hookrightarrow G_A = m \times [x_1(T, P) - x_2(T, P)] + m x_2(T, P)$$



\rightarrow G_A minimale en 1
Ls que A stable



\rightarrow G_A minimale en 0
 \hookrightarrow que B stable

On cherche le cas où $H \succcurlyeq c$, on a A et B stable $\Rightarrow G_A = \text{cste}$

$$\hookrightarrow G_2(T, P, m) = G_2(T, P, n)$$

$$\hookrightarrow \boxed{y_1(T, P) = y_2(T, P)} \quad \left\{ \begin{array}{l} \text{Condition} \\ \text{d'équilibre et} \\ \text{coexistence.} \end{array} \right.$$

* Remarque: au point triple, $\mu_1 = \mu_2 = \mu_3$.

De cette condition on peut en déduire une expression des courbes de coexistence.

3°) Caractérisation et classification :

$$\text{Gm repart de: } \chi_1(T, P) = \chi_2(T, P)$$

$$\therefore \frac{dx_1(T, P)}{dT} = \frac{dx_2(T, P)}{dT} \quad \downarrow \text{car } P = P(T)$$

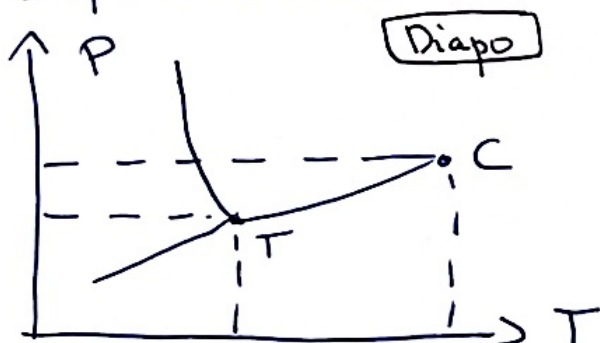
$$\left(\frac{\partial y_1}{\partial T} \Big|_P + \underbrace{\frac{\partial P}{\partial T} \times \frac{\partial y_1}{\partial P}}_{\sim 1} \Big|_T = \frac{\partial y_2}{\partial T} \Big|_P + \underbrace{\frac{\partial P}{\partial T} \times \frac{\partial y_2}{\partial P}}_{\sim 2} \Big|_T \right)$$

Gm obtient alors :

- ↪ $\frac{dP}{dT} = \frac{n_2 - n_1}{n_2 \cdot n_1}$ (2) { Relation de Clapeyron et comme $G = H - TS$
- ↪ $\Delta G = \Delta H - T \Delta S = 0$ (à l'équilibre et à T fixée)
- ↪ $\Delta S = \frac{\Delta H}{T} \Rightarrow \Delta s = \frac{\Delta h}{T}$ (en molaire)
- ↪ Gm a donc $\frac{dP}{dT} = \frac{L}{T} \times \frac{1}{n_2 - n_1}$, $L = \Delta h = \Delta s T$ ↳ chaleur latente.

Remarque : L tabulée en kJ/kg ou en kJ/mol .

Exemple de l'eau :



$$\left. \begin{array}{l} L_{\text{fus}} = 334 \text{ kJ/kg}^{-1} > 0 \\ L_{\text{sol}} = -L_{\text{fus}} < 0 \\ L_{\text{vap}} = 2260 \text{ kJ/kg}^{-1} > 0 \\ L_{\text{liq}} = -L_{\text{vap}} < 0 \\ S-L : \frac{dP}{dT} < 0 \text{ car } \rho_{\text{gl}} < \rho_{\text{eau}} \end{array} \right\}$$

↪ Explique l'expérience de Tyndall.

De façon analogue, on pourrait définir une relation similaire à (2) pour des systèmes physiques subissant une transition de phase quelconque (mais avec des variables différentes du volume) (aimantation, ...).

Notion de chaleur latente \Rightarrow classification des transitions de phase.

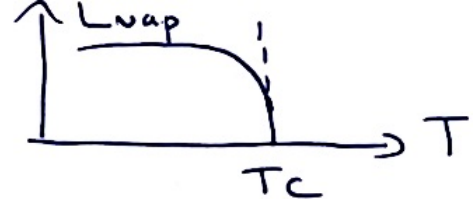
* Classification d'Ehrenfest : (exemple L-G)

Gm reprend $\frac{dP}{dT} = \frac{L_{\text{vap}}}{T} \left(\frac{1}{\rho_{\text{sg}} - \rho_{\text{sl}}} \right)$ et $L = T(\rho_{\text{sg}} - \rho_{\text{sl}})$

↪ discontinuité de n ($n_2 \neq n_1 \Rightarrow$ discontinuité de s)
 $\Rightarrow [L \neq 0]$ (donc $\frac{\partial G}{\partial T}$ discontinue car $\left. \frac{\partial G}{\partial T} \right|_P = -S$)

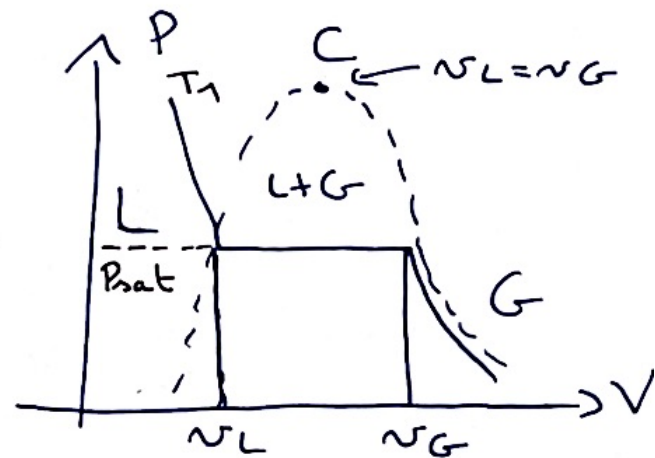
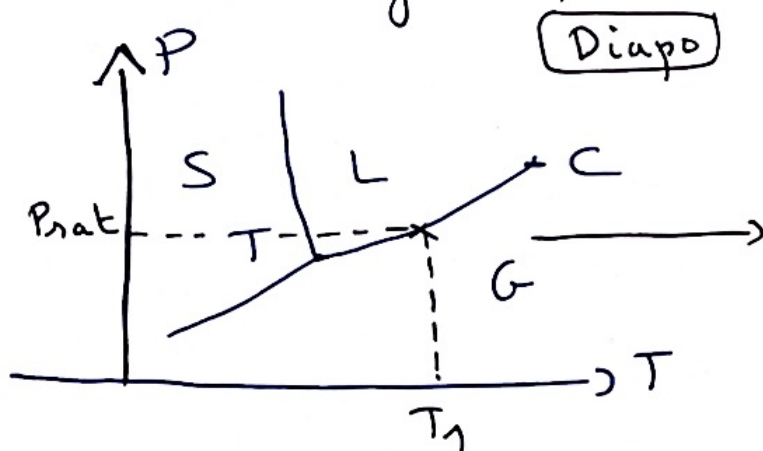
↪ cependant pour $T = T_c$, on a $L = 0$, car $\frac{dP}{dT} \rightarrow 0$
(ne peut pas être infinie)

et on peut montrer que $\frac{dL_{\text{vap}}}{dT} \xrightarrow{T \rightarrow T_c} -\infty$



($L=0 \Rightarrow \gamma_g = \gamma_l \Rightarrow \frac{\partial G}{\partial T}_P$ continue)

(On voit mieux en utilisant à la fois le diagramme (P,T) et (P,V) déjà vu)



Bilan :

- * On définit une transition d'ordre 1 par une transition de phase comportant une chaleur latente et plus généralement une transition pour laquelle il y a continuité du potentiel et discontinuité de sa dérivée première au niveau de la transition (par rapport à une variable d'état) (L-G, L-S, ...)
- * On définit une transition d'ordre 2 par une transition de phase ne comportant aucune chaleur latente et plus généralement continuité du potentiel et de sa dérivée première au niveau de la transition (L-G pour $T=T_c$, transition para-ferro, ...) Remarque : transition de phase possible en considérant une interaction Pas GP.

On a vu l'aspect théorique des transitions de phase, voyons maintenant une liste non exhaustive d'applications dans différents domaines.

II) Applications des transitions de phase : (Tout sur diapo)
presque

1°) La chauferette : (chauffage)

(plein de photos)

La chauffette chimique, autrement appelée bouillotte magique par la célèbre enseigne de Décathlon, est composé d'une solution aqueuse saturée d'acétate de sodium en surfusion.

Définition surfusion: état d'une substance qui reste liquide au-delà de son point de solidification.

Dans notre cas ici $T_{\text{fusion}} = 54^\circ\text{C} < 25^\circ\text{C}$ (température ambiante)

On va alors "dipper" le bout métallique présent dans la chauffette ; ce choc va permettre l'apport d'énergie nécessaire pour passer de l'état de surfusion (metastable) à l'état stable à la température ambiante \rightarrow solide (référence au schéma de la partie I)

↳ La transition de phase liquide - solide est exothermique

↳ On a libération de chaleur \rightarrow Utile pour se

rechauffer l'hiver (Inconvénient : durée de vie faible)

(Il faut donner de l'énergie pour passer à une phase désordonnée ($f, L_{\text{vap}} > 0$))

2° | Retour sur l'expérience introductive : aimantation du

fer (Aimant + fer + chalumeau en direct) (Pierre Curie 1855
Ernest Ising xx siècle)

Le fer est un matériau ferromagnétique, il est attiré par des aimants ou il forme un aimant permanent (ou aussi capacité d'un corps à s'aimanter sous l'effet d'un champ magnétique)

Si on chauffe le fer jusqu'à une certaine température (température de Curie), il perd cette faculté et devient paramagnétique.

C'est une transition ordre - désordre réversible.

↳ Utilité : stockage de l'information (magneto-optique)
Contrôle température dans ferr à rouler, curseurs rig.

3°) Les chambres à bulles : (détecteur à particules)

Chambres qui contiennent un liquide dans un état surchauffé

Surébullition : état d'un liquide maintenu à une température supérieure de son point d'ébullition sans bouillir. (ici hydrogène liquide).

L'arrivée des particules dans la chambre va permettre l'apport d'énergie nécessaire pour passer de l'état métastable à l'état le plus stable, ici vapeur

↳ Il y a formation de bulle après passage des particules

(Dans la chambre, il y a un champ B puissant, les particules subissent la force de Lorentz).

A partir de la trajectoire et du rayon de courbure visible par les bulles, on en déduit le signe de la particule, leur vitesse et donc leur énergie)

$\left\{ \vec{F} = q\vec{v} \wedge \vec{B} \right.$, on connaît le signe de $\vec{v} \wedge \vec{B} \Rightarrow$ on déduit le signe de q à partir de cela.

Force centripète, trajectoire circulaire si v et $B = \text{cst}$

$$F_c = m \times \frac{v^2}{r} \text{ et } F_c = qvB \Rightarrow r = \frac{mv}{qB}$$

Glaser, 1960
Prix Nobel

↳ On remonte à v et donc E_c .

Chambre à brouillard : → traînée de condensation (vapeur d'eau ou alcool sur saturée) → seules particules nucléaires chargées (particules nucléaires perdent de l'énergie en ionisant sur son passage les atomes, ces ions ⇒ impuretés ⇒ vapeurs instables à l'état liquide là où les ions sont cîés) (Charles Wilson 1911)

Chambre à fils : → chambre gaz noble (comme Argon) avec des grilles sans tensions et empilees cathodes et anodes. La particule ionise le gaz, séparant e^- et ions chargés + qui sont attirés par les anodes et cathodes. Présence de la particule → détecté par une pulsation électrique sur les fils de l'anode

Georges Charpak, 1992
Prix Nobel

Conclusion et ouverture : Points importants + ouverture modèle avec interactions VdW.

Annexes :
(pour d'éventuelles
questions)

* Matiériaux à changement de phase :

↳ Change d'état physique sur une plage de T°
(On est surtout sur du liquide - solide).

Capacité à absorber de la chaleur :

Chaleur sensible (absorbe ou cède de l'énergie en voyant sa T° varier (sans chang. d'état)) $\rightarrow [C_p]$

Chaleur latente (absorbe ou cède de l'énergie par simple chgt d'état ($T=\text{cte}$) $\rightarrow [L]$

1 kg eau : $330 \times 10^3 \text{ J/kg} \rightarrow 1 \text{ kg de glace reçoit une énergie de } 330 \text{ 000 Joules}$

Capacité \rightarrow stockage d'énergie . Densité énergétique.

Ex Acétate de sodium trihydrate

Eau :

- (Entre 30° et 70°C) $V=1 \text{ m}^3$

$$E_{\text{eau}} = V \times \rho_{\text{liquide}} \times C_{\text{peau}} \times (70-30) \quad E_{\text{eau}} = V \times \rho_{\text{solide}} \times C_{\text{nCP}} \times \Delta T_{\text{sol}}$$

$$\hookrightarrow E_{\text{eau}} = 1,67 \times 10^8 \text{ Joules}$$

MCP :

- (Entre 30° et 70°C) $V=1 \text{ m}^3$

$$E_{\text{MCP}} = V \times \rho_{\text{solide}} \times C_{\text{nCP}} \times \Delta T_{\text{sol}} + V \times \rho \times L_f +$$

$$V \times \rho_{\text{liquide}} \times C_{\text{pNCPliquide}} \times \Delta T_{\text{lio}}$$

$$\hookrightarrow E_{\text{MCP}} : 5 \times 10^8 \text{ Joules} \\ (\times 3)$$

- Stocker 100 kWh de 55° à 58°C

$$V_{\text{eau}} = \frac{100 \times 10^3 \times 3600}{C_{\text{peau}} \times (58-55) \times \rho_{\text{eau}}}$$

$$V_{\text{eau}} = 28,7 \text{ m}^3$$

- Stocker 100 kWh de 55° à 58°C

$$V_{\text{MCP}} = \frac{100 \times 10^3 \times 3600}{L_f \times \rho_{\text{MCP}} \times C_{\text{pMCP}}}$$

$$V_{\text{MCP}} = 1,1 \text{ m}^3$$

$$\Rightarrow (\times 28 !!)$$

↳ Application climatisation passive : En surchauffe, MCP fond et emmagasine de la chaleur. Lorsque le bâtiment se refroidit, il se solidifie et restitue la chaleur

Modèle de Curie-Weiss :

$$E_p = -\mu \vec{B} = \pm m_0 \cdot B_0 \Rightarrow N^\pm = N \times \frac{e^{\pm m_0 B / k_B T}}{e^{m_0 B / k_B T} + e^{-m_0 B / k_B T}}$$

$$M = m_0 (N^+ - N^-)$$

$$M = m_0 N \tanh \left(\frac{m_0 B}{k_B T} \right) \xrightarrow[\text{faible champ}]{\quad} M = \frac{m_0^2 N}{k_B} \times \frac{m_0}{m_0} \times \frac{B}{T}$$

$$\hookrightarrow \vec{M} = \frac{C}{m_0} \frac{\vec{B}}{T} \text{ avec } C = \frac{\mu_0 m_0^2 N}{k_B} \quad \left\{ \begin{array}{l} \vec{H} = 0 \wedge \vec{B} = \vec{0} \\ \hookrightarrow \text{pas de transition ferro.} \end{array} \right.$$

Modèle de Weiss :

$$\vec{B} = \vec{B}_{ext} + \Lambda \vec{M}(P) \quad \text{aimantation au point P}$$

$$\hookrightarrow M = m_0 N \tanh (\beta m_0 (B_{ext} + \mu_0 \Lambda))$$

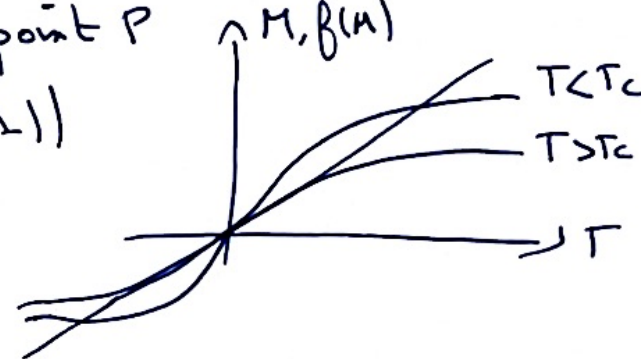
$$\hookrightarrow M = M_{sat} \tanh (\beta A + \beta B \frac{\mu_0}{M_{sat}})$$

$$T_c = \frac{B}{k_B} = \frac{N m_0^2 \Lambda}{k_B} \quad \text{Pour } B_{ext} = 0$$

$$\text{Pour } B_{ext} = 0 \quad M = M_{sat} \tanh \left(\beta B \frac{\mu_0}{M_{sat}} \right) \xrightarrow[T \rightarrow 0]{\quad} M_{sat}$$

$$\xrightarrow[T \rightarrow T_c]{\quad} \sqrt{3} \sqrt{\frac{T_c - T}{T_c}}$$

DL



Modèle d'Irring :

$$H = -J \sum_{\langle i,j \rangle} S_i S_j - B \sum_i S_i$$

$$S_i S_j = (S_i - m)(S_j - m) + m(S_i + S_j) - m^2$$

$$\hookrightarrow H = \sum_i h_i = -J \sum_{\langle i,j \rangle} (-m^2 + m(S_i + S_j)) - B \sum_i S_i$$

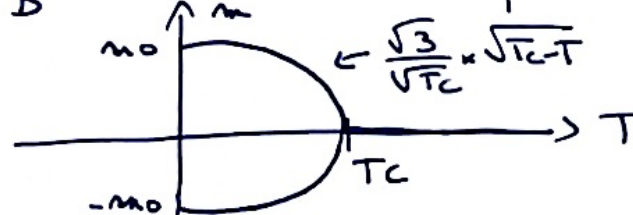
$$\sum_i h_i = +\frac{Jm^2}{2} q - Jmq \sum_i S_i - B \sum_i S_i$$

$$\Rightarrow \sum_i (\beta Jmq + B) S_i + \frac{Jm^2}{2} q$$

$$\hookrightarrow Z = (z_i)^N \Rightarrow z_i = \sum_{S_i=\pm 1} \exp(\beta (\beta Jmq + B) S_i) e^{-\beta \frac{\beta Jqm^2}{2}}$$

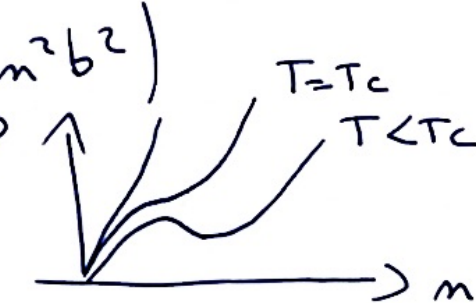
$$\hookrightarrow z_i = 2 \cosh \left(\beta (\beta Jmq + B) S_i \right) e^{-\frac{\beta Jqm^2}{2}}$$

$$\hookrightarrow M = \frac{1}{\beta} \frac{\partial \ln(Z)}{\partial B} \rightarrow m = \tanh (\beta (B + \beta Jmq))$$



$$P = m k_B T \left(1 + n \left(b - \frac{a}{T} \right) + n^2 b^2 \right)$$

$$\frac{\partial P}{\partial n} = 0 \Rightarrow T_c = \frac{a(\sqrt{3}-1)}{2b}$$



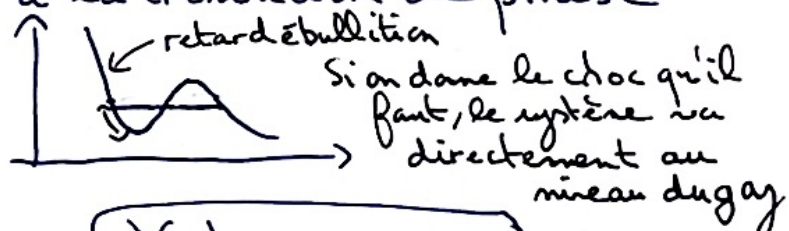
T_c dépend de a (interaction à courte/longue portée)
 ↳ Si $a = 0 \Rightarrow T_c = 0$ et T toujours supérieur à 0

- ↳ Si pas d'interaction, on a pas de transition liquide-gaz!
 - ↳ Le gaz parfait ne marche pas. Guiture.
-

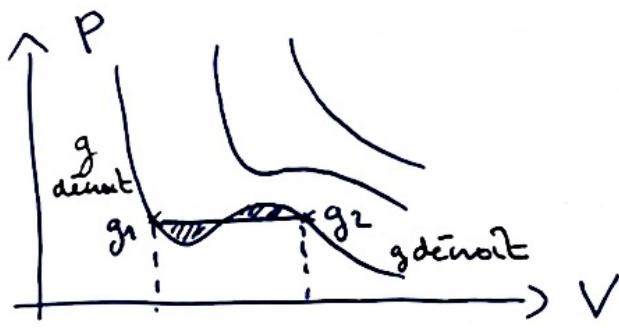
Etats métastables → retards à la transition de phase
 (cf applications)

Construction de Maxwell →

$$dG = -SdT + Vdp + \chi dn$$



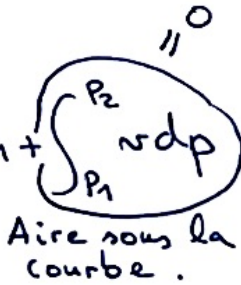
$$\rightarrow \left(\frac{\partial G}{\partial p} \right)_{T, n} = V > 0$$



à l'équilibre entre 2 phases,
 $g_1 = g_2$

Général :

$$g_2 = g_1 + \int_{p_1}^{p_2} \frac{\partial g}{\partial p} dp = g_1 + \int_{p_1}^{p_2} \nu dp$$



- ↳ Egalité des aires.
-

$$\text{Modèle : VdW } P = \frac{mRT}{V-mb} - a \left(\frac{m}{V} \right)^2$$

$$\text{Berthelot } P = \frac{RT}{nm-b} - \frac{a}{Tnm^2}$$

$$\text{Viriel } P = \frac{RT}{nm} \left(1 + \frac{B(+)}{nm} + \frac{C(+)}{nm^2} \right)$$
